

阪神電気鉄道(株) 正員 鈴鹿隆英
 京都大学工学部 正員 山田善一
 京都大学工学部 正員 家村浩和

1. まえがき 高軸力下におけるRC柱の耐震安全性を検討するに当たっては、繰り返し荷重下におけるそのじん性が重要な問題となる。本研究では、新しく開発した軸力載荷装置を用いて、軸力および横拘束筋の異なるRC柱について、オンラインハイブリッド弾塑性曲げ地震応答実験を実施し、動的破壊規範となるエネルギー吸収能の劣化パラメーターを用いて、じん性の差異を検討した。

2. 実験概要 本実験では、Fig. 1に示すデジタルコンピューターと載荷試験機とをA/D-D/A変換器を介して直結したオンラインハイブリッド弾塑性地震応答実験を実施した。本実験の特徴は、地震応答変位を部材への荷重としていることおよび部材の塑性域における反力を地震応答計算に用いていることである。したがって耐震安全性の検討などには最適のシステムであるといえる。

2. 1 供試体 供試体は、Fig. 2に示すように、 15×15 cmの正方形断面、全長2mのもので、高強度スパイアラ筋による横拘束のピッチが6cm, 3cmの2種類である。コンクリートには、設計強度が 80.0 kgf/cm^2 (実験平均値 87.8 kgf/cm^2)の高強度コンクリートを用い、また主鉄筋はD13, 5D35(平均降伏強度 39.80 kgf/cm^2)を圧縮側、引張側各2本用いた。鉄筋比は2.25%である。

2. 2 載荷および測定方法 軸力はあらかじめ供試体に配置した、 $\varnothing 26$ mmアンボンドPC鋼棒をサポ型アクチュエーターで引張ることにより加えた。実験中に軸力が一定となるよう荷重制御方法をとった。軸力によるものは、 50 kgf/cm^2 , 100 kgf/cm^2 の2種類を用いた。入力地震波はELCENTRO-NS成分にスケールファクターを用いることにより、供試体降伏加速度の1.0~2.5倍の4種のものを用いた。本実験では、降伏加速度は平均約 15.7 gal であった。

3. 実験結果および考察

3. 1 破壊状況 軸力が 100 kgf/cm^2 の場合、塑性率応答が約4程度をこえると横拘束筋の差

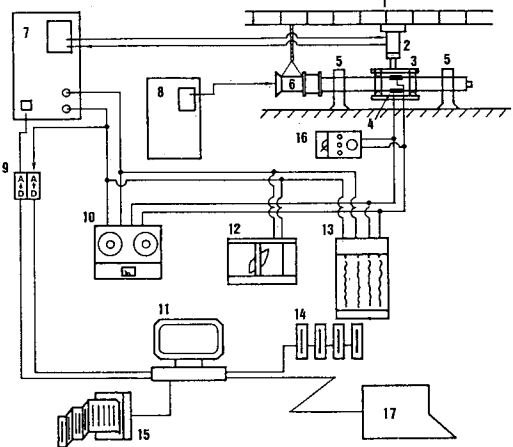


Fig. 1 Online Hybrid System

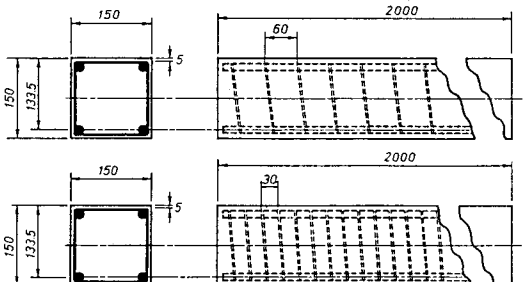


Fig. 2 Test Piece

case	Pitch 6cm				Pitch 3cm				
	入力加速度倍率	x 1.0	x 1.5	x 2.0	x 2.5	入力加速度倍率	x 1.0	x 1.5	x 2.0
Ductility Factor	N= 50 kgf/cm ² N=100 kgf/cm ²	1.29 1.27	2.36 3.19	3.75 3.64	4.77 5.00	1.33 1.89	2.47 3.23	3.94 3.72	4.89 5.58
Dynamic Amplification Factor(DF/gal) $\times 10^{-2}$	N= 50 kgf/cm ² N=100 kgf/cm ²	8.17 8.33	9.95 13.97	11.86 12.01	12.08 13.07	8.42 10.80	10.42 12.31	12.46 11.77	12.38 14.13
Maximum gal	N= 50 kgf/cm ² N=100 kgf/cm ²	157.9 152.4	237.1 228.3	316.1 303.1	395.0 382.7	157.9 162.4	237.1 262.4	316.1 316.1	395.0 395.0
Stiffness Deterioration	N= 50 kgf/cm ² N=100 kgf/cm ²	0.86 0.81	0.54 0.64	0.57 0.58	0.42 0.45	0.59 0.90	0.52 0.73	0.56 0.58	0.51 0.49
Accumulated Energy (ton·cm)	N= 50 kgf/cm ² N=100 kgf/cm ²	17.8 22.8	71.9 84.4	142.7 179.1	228.1 283.7	15.5 45.2	61.7 142.2	126.4 213.3	225.2 310.2

Table 1

により破壊が実なってきた。すなわちピッキ6cmのものは、内部コンクリート部の圧壊がはじまるか、ピッキ3cmのものは、かぶり部分のみの圧壊であった。軸力が 50 kg/cm^2 の場合では、塑性率応答が約5程度まで外見上違いはみられなかつた。実験結果より得られた塑性率応答、動的応答倍率、最大入力加速度、剛性劣化度、累積エネルギー吸収量をTable1に示した。この表中のデーターを見ると、ピッキの差による影響は、軸力 100 kg/cm^2 の場合の累積エネルギー吸収量にのみ強く表われている。

3.2 剛性劣化 剛性は塑性域に入

る最初の大変形時に大きく劣化し、小振幅のくり返し載荷による影響は少ない。

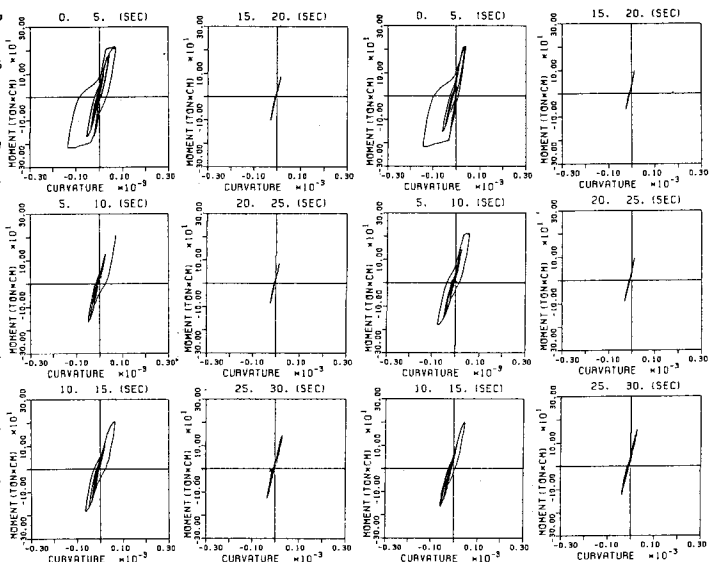
このためFig.3の変位-復元力の履歴曲線をみておぼ同形を示している。2点載荷点内部のモーメント-曲率曲線をFig.4に示す。これみるとループは、正負それぞれの最大経験点に向かう曲線上を進む剛性劣化型の曲線を示している。剛性の劣化は最大じん性応答によりほぼ決定されるとともに、横拘束の差による大きな変化はなかった。

3.3 エネルギー吸収能劣化度 エネルギー吸収能を定量的にみるため、振幅の影響を取り除き、次式でエネルギー吸収能劣化度を定義する。 $\Delta E_H = \sqrt{E_{H1}/X_1^2}$ 、ここに E_{H1} は半サイクルのエネルギー吸収量、 X_1 は半サイクルでの最大振幅である。この ΔE_H をシリーズ別に示したのがFig.5である。これをみると、塑性率応答が3程度までは、各シリーズともほぼ同じ劣化度を示しているが、3以上になると軸力、横拘束筋により変化が現われる。軸力 100 kg/cm^2 でピッキ6cmの場合、塑性率応答が4あたりから劣化が著しくなり、破壊の進行を示しているが、ピッキ3cmのものは、塑性率応答が5を越えてもまだ劣化は急に進まない。軸力が 50 kg/cm^2 の場合も同様に、ピッキ6cmの劣化は、塑性率応答が4あたりから急であるが、ピッキ3cmのものはほぼ一定値で劣化は進んでいない。エネルギー吸収能劣化度からみると、横拘束筋を密にすることによるじん性改善が明らかである。こうした傾向は、3.1において述べた部材の破壊状況と非常によく一致することから、エネルギー吸収能の劣化度は、耐震安全性を検討する上で、非常に有効なパラメーターであると言える。

謝辞 本研究を実施する上で御世話をなった、阪神高速道路公団工務部設計課長江見晋氏、京都大学工学部土木工学科小林和夫助教授、宮川豊章助手に深謝致します。

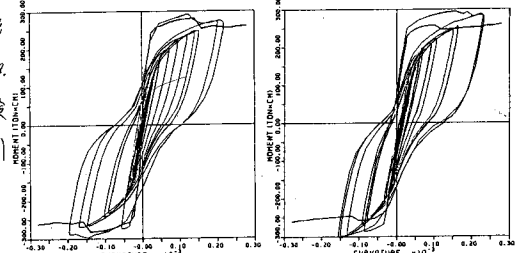
(参考文献) 1) 山田善一、家村浩和、西村一郎; 第17回地震工学研究発表会講演概要, pp. 231~234, 昭和58年7月

2) Lemura, Kato and Kawatani; Proceedings of the Sixth Japan Earthquake Engineering Symposium -1982, pp. 325~332, 1982.



Pitch 6cm, N=50kg/cm², (x1.5) Pitch 3cm, N=50kg/cm², (x1.5)

Fig. 3 Hysteresis Loops



Pitch 6cm, N=100kg/cm², (x2.5) Pitch 3cm, N=100kg/cm², (x2.5)

Fig. 4 Moment-Curvature Loop

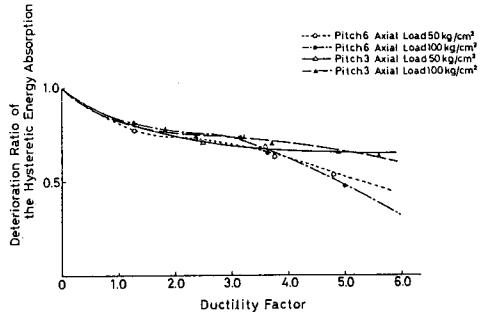


Fig. 5 ΔE_H -Ductility Factor